

ПРЯМА ТА ЗВОРОТНЯ ЗАДАЧИ ДИНАМІКИ ДЛЯ ТРИКОЛІСНОГО МОБІЛЬНОГО РОБОТА З ДВОМА ВЕДУЧИМИ КОЛЕСАМИ

Волянський Р.С., к.т.н., доц.

КПІ ім. Ігоря Сікорського, кафедра автоматизації електромеханічних систем та електроприводу

Вступ. В наш час мобільні роботи широко застосовуються при виконанні різних технологічних операцій у цілому ряді галузей народного господарства. Ці операції пов'язані з транспортуванням вантажів та обладнання, виконання робіт щодо визначення стану технічного об'єкту чи споруди, їх конструювання чи ремонту, виконання робіт з дослідження певної території та складання відповідних карт тощо. В останній час перелік операцій, які можуть виконувати мобільні роботи розширився поліцейськими та військовими операціями [1-3].

Очевидно, що від швидкості та точності руху таких роботів залежить безпека персоналу, який працює поруч, та час, який необхідний для виконання відповідних операцій. Тому виникає важлива задача дослідження та формування траєкторій руху мобільних роботів.

В наш час така задача розв'язується за допомогою методів та підходів сучасної теорії керування. В першу чергу до таких методів слід віднести методи інтелектуального керування, яке базується на використанні нечіткої логіки та машинного навчання [4-5]. Суттєвим недоліком таких методів є високій рівень суб'єктивізму з боку проектувальника відповідних систем керування та персоналу, який здійснює їх налагодження. Відповідно функціонування системи керування залежить від рівня знань та навичок конструкторсько-налагоджувального персоналу і може відбуватися у непередбачених на етапі проектування системи режимах у випадку недостатньої проробки алгоритмів керування. З іншого боку, використання класичних алгоритмів автоматичного керування для керування роботами не гарантує стійкості їх руху та бажаної швидкодії [6,7]. Тому на теперішній час найбільш придатними для керування мобільним роботами будемо вважати методи, які базуються на новітніх розробках в області теорії автоматичного керування, які базуються на методах оптимізації, адаптації та робастності і використанні теорії стійкості руху [8-10].

Використання цих методів дозволяє розглядати мобільний робот [11-15] як де-яку динамічну систему з декількома входами та виходами. Математичний опис такої динамічної системи [16-27] може бути використаний для аналізу та синтезу бажаних траєкторій руху шляхом розв'язання відповідних прямої та зворотної задач динаміки [28-32]. Тому створення математичної моделі мобільного робота є актуальною задачею, розв'язання якої дозволяє створити та дослідити системи керування роботом, які забезпечують рух по наперед заданим бажаним траєкторіям.

Мета роботи. Розробка високо-формалізованої математичної моделі, триколісного мобільного робота з двома ведучими колесами, які приводяться до руху синхронними реактивними двигунами та використання цієї моделі для синтезу багатоканальної системи керування рухом робота.

Матеріали і результати досліджень. Для складання рівнянь руху робота розглянемо його розрахункову схему, яка наведена на рис.1

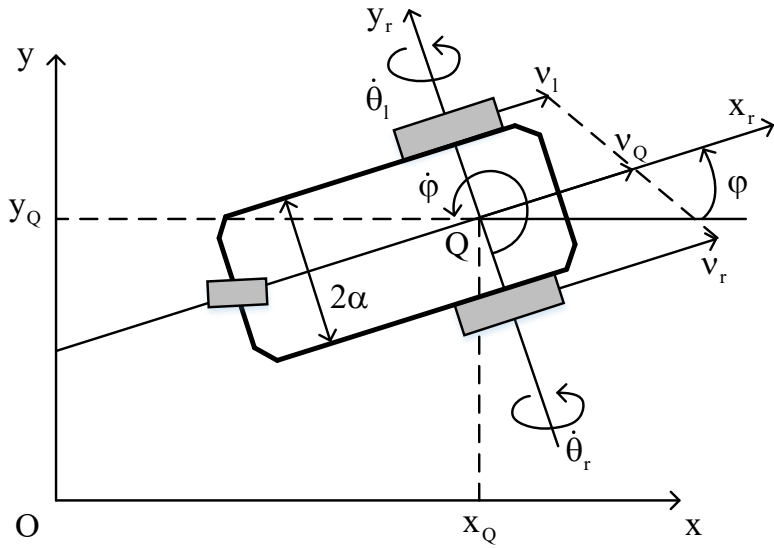


Рисунок 1 - Кінематична схема мобільного робота з диференціальним приводом

При розробці математичної моделі будемо користуватися наступними припущеннями:

- Колеса при русі не мають ефекту просковзування;
- Колеса розташовані перпендикулярно площині Оху, тому при рульовому керуванні відхилення відсутнє;
- Точка Q, що знаходиться посередині вісі приводів збігається з центром ваги робота.

Будемо вважати, що положення і орієнтація робота [1] в будь-який момент часу описується вектором $\mathbf{r} = [x_Q, y_Q, \phi]^T$, де (x_Q, y_Q) – положення точки Q (центра осі приводних коліс) та ϕ – орієнтація робота в глобальній системі координат, кутові швидкості лівого і правого коліс позначено θ_l і θ_r відповідно.

Приймаючи до уваги складність розглядаємої електромеханічної системи, яка складається з двох приводних двигунів, які обертають колеса та взаємопливають один на один через роботехнічну платформу, ми будемо використовувати для створення динамічної моделі лагранжевий формалізм. Відповідно до методу Лагранжа, рух будь-якої динамічної системи може бути описаний за допомогою рівнянь Лагранжа

$$\frac{d}{dt} \frac{\partial L}{\partial \dot{w}_j} - \frac{\partial L}{\partial w_j} + \frac{\partial T_e}{\partial \dot{w}_j} = \sum Q_j, \quad (1)$$

де w_j – узагальнена координата, L – лагранжіан розглядаємої динамічної системи, T_e – функція Реллея, Q_j – узагальнені зовнішні зусилля.

В якості узагальнених координат ми використовуємо лінійний та кутовий шлях, пройдений роботом.

В загальному випадку лагранжіан системи може бути визначений наступним чином

$$L = T_k - T_g, \quad (2)$$

де кінетична енергія T_k складається з енергій лінійного та кутового рухів платформи і коліс

$$T_k = 0.5 \sum m_i V_i^2 + 0.5 \sum J_i \omega_i^2, \quad (3)$$

тут m_i – маси коліс та платформи, V_i – їх лінійні швидкості, J_i – моменти інерції коліс та платформи відносно осей обертання, ω_i – їх кутові швидкості, T_g – потенційна енергія робота, приймаючи до уваги, що рух відбувається у горизонтальній площині, ця енергія прирівнюється до нуля.

З врахуванням останнього твердження лагранжіан розглядаємого мобільного робота можна однозначно співставити з його кінетичною енергією

$$L = T_k \quad (4)$$

та записати у розгорнутому вигляді наступним чином

$$\begin{aligned} L = & (m_1 + 2m_k) (\dot{x}_Q^2 + \dot{y}_Q^2) + J_y (\omega_l^2 + \omega_r^2) - 2m_1 a (\dot{x}_Q \sin \varphi - \dot{y}_Q \cos \varphi) \dot{\varphi} + \\ & + (m_1 a^2 + J_1 + 2m_k l^2 + 2J_{kz}) \dot{\varphi}^2, \end{aligned} \quad (5)$$

тут приведений момент інерції коліс та двигунів визначається формулою

$$J_y = J_{ky} + n^2 J_{ry}. \quad (6)$$

Підстановка виразу (5) до рівнянь (1) дозволяє записати наступні диференційні рівняння, які описують динаміку розглядаємої робототехнічної платформи наступним чином

$$m\dot{V} - m_1 a \omega^2 = \frac{M_1 + M_2}{r}; \quad J\dot{\omega} + m_1 a V \omega = \frac{M_1 - M_2}{r}, \quad (7)$$

де M_1 та M_2 – електромагнітні моменти лівого та правого приводних двигунів, a – напіввідстань між колесами,

$$m = m_1 + 2m_k + 2J_y / r^2; \quad J = J_1 + 2J_{kz} + (m - m_1)l^2 + m_1 a^2. \quad (8)$$

Доповнивши рівняння (7) рівняннями кінематики та виконавши переход до операторної форми, отримаємо такі рівняння

$$\begin{aligned} sx &= V \cos \psi; \quad sy = V \sin \psi; \quad s\psi = \omega; \\ sV &= a_{45} \omega^2 + m_4 (M_1 + M_2); \quad s\omega = a_{54} V \omega + m_5 (M_1 - M_2), \end{aligned} \quad (9)$$

де

$$a_{45} = m_1 a / m; \quad m_4 = 1 / mr; \quad a_{54} = -m_1 a / J; \quad m_5 = 1 / Jr. \quad (10)$$

Система рівнянь (9) описує рух механічної частини мобільного робота в залежності від прикладених до його коліс моментів приводних двигунів.

Доповнимо цю модель рівнянням електричної рівноваги k -ої фази СРМ

$$U_k = i_k R_k + i_k \frac{\partial L_k(\theta, i_k)}{\partial \theta} \omega + L_k(\theta, i_k) s i_k, \quad (11)$$

де R_k – опір k -ої фази, L_k – індуктивність k -ої фази, i_k – струм k -ої фази, ω та θ – швидкість і кут обертання ротора відповідно,

рівнянням електромагнітного моменту, який створюється цією фазою

$$M_k = i_k^2 \frac{\partial L_k(\theta, i_k)}{\partial \theta} \quad (12)$$

та виразом для сумарного електромагнітного моменту

$$M = \sum_{k=1}^n M_k \quad (13)$$

Математична модель, складена на основі рівнянь (9), (11)-(13) може розглядатися як розв'язання прямої задачі динаміки.

Взагалі-то ця модель може бути використана і для розв'язання зворотної задачі динаміки. Однак, приймаючи до уваги, змінність структури моделі двигуна, викликану перемиканням його фаз, при розв'язанні зворотної задачі будемо вважати, що до складу системи керування входить швидкодіючий регулятор моменту. Введення такого контуру та організація в ньому ковзних режимів дозволяє гарантувати безінерційність контуру регулювання моменту і таким чином виключити із розгляду рівняння, які описують динаміку двигунів. Таким чином розв'язання зворотної задачі динаміки для розглядаємої роботи може виконуватися виключно на основі рівнянь (9).

Послідовно розв'яжемо перші три рівняння (9) відносно лінійної та кутової швидкостей платформи

$$\psi = \arctg \frac{sy}{sx}; \quad V = \frac{sx}{\cos \psi}; \quad \omega = s\psi = s \cdot \arctg \frac{sy}{sx} = \frac{1}{1 + \left(\frac{sy}{sx} \right)^2} \frac{s^2 y sx - sys^2 x}{(sx)^2}. \quad (14)$$

За відомими швидкостями платформи знайдемо моменти, які мають бути розвинені двигунами, щоб забезпечити такі швидкості. Для знаходження цих моментів будемо розв'язувати останні два рівняння системи (9)

$$M_1 = \frac{sV - a_{45}\omega^2}{2m_4} - \frac{a_{54}V\omega - s\omega}{2m_5}; \quad M_2 = \frac{sV - a_{45}\omega^2}{2m_4} + \frac{a_{54}V\omega - s\omega}{2m_5}; \quad (15)$$

Моменти (15) будемо розглядати, як сигнали завдання для контурів керування моментами кожного двигуна.

Вирази (14)-(15) є шуканим розв'язанням зворотної задачі динаміки.

Використання цих виразів дозволяє побудувати теоретично безінерційну двоканальну систему керування рухом мобільного робота, яка здатна відтворювати задану траєкторію руху. Функціональна схема такої системи керування наведена на рис.2.

Наведена структура має два суттєвих недоліки:

1. Вона є розімкненою відносно координат робота, що може привести до неточного відпрацювання бажаної траєкторії у випадку коли параметри, використовувані при налаштуванні блоку формувача моменту відрізняються від реальних параметрів робота. Таке може статися внаслідок зміни умов роботи, впливу оточуючого середовища, тощо.

2. Задаючи моменти, які формуються в цій структурі можуть досягати великих значень, які неможна відтворити фізично, внаслідок невірного завдання бажаної траєкторії руху.

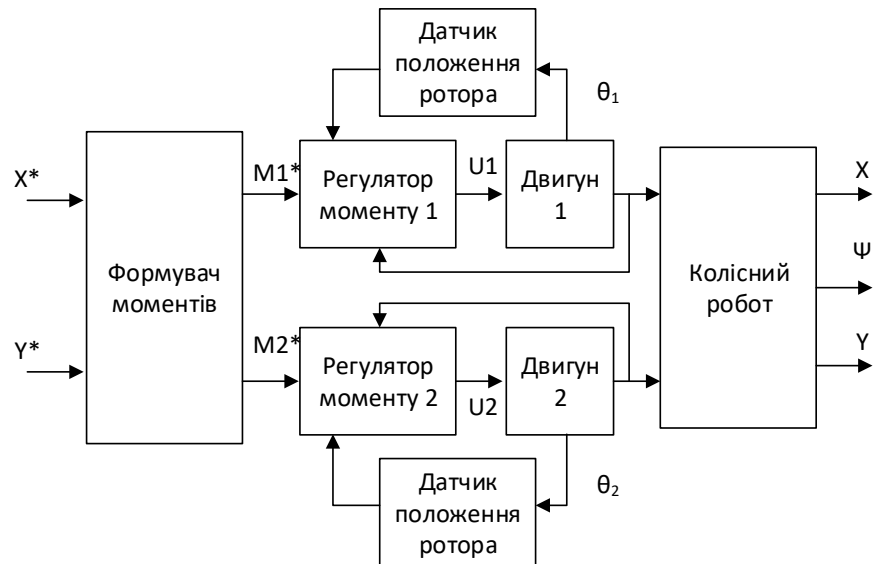


Рисунок 2 – Функціональна схема системи керування положенням мобільного робота

Усунути ці недоліки можна шляхом замикання системи керування за положенням робота (рис.3)

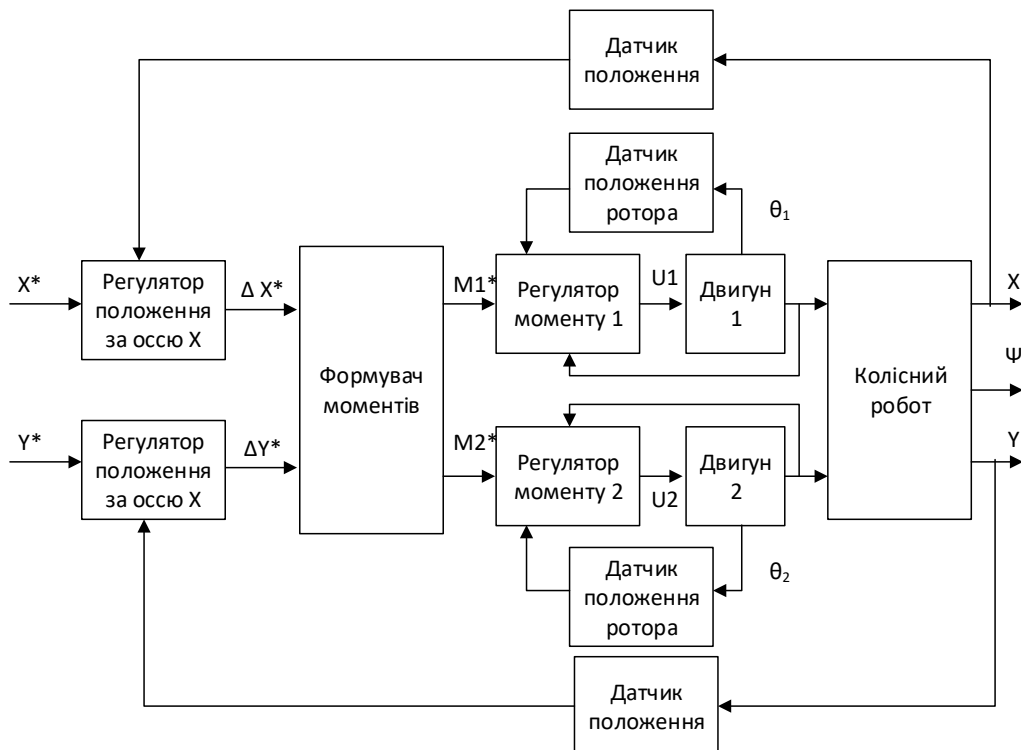


Рисунок 3 – Функціональна схема замкненої системи керування положенням мобільного робота

В якості датчиків положення платформи робота можуть використовуватися різного роду дальноміри та оптичні системі, побудовані на основі розпізнавання образів, якщо рух відбувається у відомому закритому приміщенні, або датчики системи GPS у випадку руху назовні. В останньому випадку необхідно потурбуватися про підвищення точності отримання сигналів позиціювання.

Окрім порівняння бажаної та поточної координати робота регулятори положення на вході системи забезпечують формування фізично-реалізуємих моментів двигуні в та обмежують їх значення

На рис.4 наведені переходні процеси відпрацювання складної траєкторії такою системою

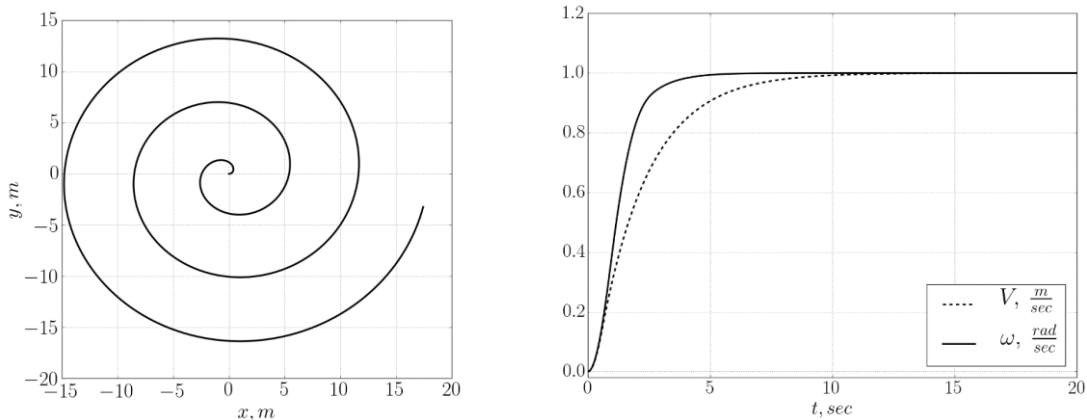


Рисунок 4 – Відпрацювання складної траєкторії руху в синтезованій замкненій системі керування положенням мобільного робота

Аналіз наведених графіків показує високу якість відтворення заданої траєкторії руху та асимптотичну стійкість синтезованої системи керування.

Висновки. Використання формалізованого підходу до створення математичних моделей, який базується на рівняння Лагранжа, дозволяє створювати математичні моделі складних багатоканальних нелінійних електромеханічних систем, розв'язуючи тим самим пряму задачу динаміки та визначаючи траєкторії руху динамічного об'єкта за поданими сигналами керування. Ці моделі можуть бути спрощені шляхом використання методів побудови робастних систем керування які працюють у ковзних режимах. Завдяки виникненню цих режимів вдається компенсувати внутрішні нелінійності об'єкта керування та перетворити його на безінерційний динамічний об'єкт.

В свою чергу, розв'язання зворотної задачі динаміки дозволяє визначити структуру та параметри системи керування, яка забезпечує рух динамічного об'єкта заданими траєкторіями. Теоретично, знайдені в ході такого розв'язання регулятори дозволяють побудувати безінерційну систему керування. Однак в практичних випадках внаслідок інерційності об'єкта керування це може привести до появи нескінчено великих сигналів керування, які неможливо фізично реалізувати. Тому до відповідних алгоритмів керування мають бути додані інтегруючи складові, які дозволяють створити замкнену систему керування з бажаною інерційністю.

Перелік посилань

1. R. A. Orozco-Velázquez et al., "Ackerman Mobile Robot with Arm," 2016 International Conference on Mechatronics, Electronics and Automotive Engineering (ICMEAE), Cuernavaca, 2016, pp. 55-60.
2. S. Yamada, S. Hirose, G. Endo, K. Suzumori and H. Nabaе, "R-Crank: Amphibious all

- terrain mobile robot," 2016 IEEE/RSJ International Conference on Intelligent Robots and Systems (IROS), Daejeon, 2016, pp. 1067-1072.
3. G. K. Dey, R. Hossen, M. S. Noor and K. T. Ahmmed, "Distance controlled rescue and security mobile robot," 2013 International Conference on Informatics, Electronics and Vision (ICIEV), Dhaka, 2013, pp. 1-6.
 4. M. Przybyła, K. Łakomy and P. Herman, "Strategy for designing a control system for a target-approach task by a mobile robot," 2014 IEEE/ASME 10th International Conference on Mechatronic and Embedded Systems and Applications (MESA), Senigallia, 2014, pp. 1-6.
 5. J. K. Parker, A. R. Khoogar and D. E. Goldberg, "Inverse kinematics of redundant robots using genetic algorithms," Proceedings, 1989 International Conference on Robotics and Automation, Scottsdale, AZ, 1989, pp. 271-276 vol.1.
 6. M. Bloch, M. Reyhanoglu, and N. H. McClamroch, "Control and stabilization of nonholonomic dynamic systems," IEEE Transactions on Automatic Control, vol. 37, no. 11, pp. 1746-1757, Nov. 1992.
 7. D. Panagou, H. G. Tanner and K. J. Kyriakopoulos, "Control of nonholonomic systems using reference vector fields," 2011 50th IEEE Conference on Decision and Control and European Control Conference, Orlando, FL, 2011, pp. 2831-2836.
 8. S. Maniatopoulos, D. Panagou and K. J. Kyriakopoulos, "Model Predictive Control for the navigation of a nonholonomic vehicle with field-of-view constraints," 2013 American Control Conference, Washington, DC, 2013, pp. 3967-3972.
 9. S. J. Buckley, "Fast motion planning for multiple moving robots," Proceedings, 1989 International Conference on Robotics and Automation, Scottsdale, AZ, 1989, pp. 322-326 vol.1.
 10. P. Anjaly, A. Devanand and V. R. Jisha, "Moving target tracking by mobile robot," 2014 International Conference on Power Signals Control and Computations (EPSCICON), Thrissur, 2014, pp. 1-6.
 11. Садовой О.В. Синтез оптимальної системи керування з іраціональною активаційною функцією // Вісник НТУ «ХПІ» «Проблеми автоматизованого електроприводу Теорія та практика». – Харків: НТУ «ХПІ». – 2010.– Вип. 28. – С.49 – 51 (на рос.)
 12. Садовой О.В. Синтез оптимальної системи керування з нелінійною активаційною функцією. Електротехнічні і комп'ютерні системи. Київ: Техніка. 2014, № 15 (91), С. 69 – 71 (на рос.)
 13. Щабенко М.В. Математичні моделі усунення помпажа в відцентровому компресорі // Вісник КДУ ім. М. Остоградського. - 2010. - Випуск 4(63). - С. 167 - 169. (на рос.)
 14. Назарова Е.С. Система оптимального керування натягом прокатуваної полоси стану холодної прокатки // Збірка наукових праць Донбаського державного технічного університету. –2011. – Вип. 34. – С.122-130 (на рос.)
 15. Волянський Р.С. Система керування слідкучим електроприводом із ковзним режимом 2-го порядка, Вісник Кременчуцького державного університету імені Михайла Остроградського. – Кременчук: КДУ, 2010. – Вип. 4/2010 (63) частина 3. – с.11-14 (на рос.)
 16. Sokhina, Y Active Suspension Control System. In: IEEE International Conference on Modern Electrical and Energy Systems (MEES), Kremenchuk, Ukraine, pp. 10-13 (2019)
 17. Волянський Р. С. Синтез керуючого впливу для електромеханічних об'єктів з невідомими параметрами // Вісник НТУ «ХПІ». — Харьков: ХПИ. — 2015. — № 12 (1121). — С. 60—63 (на рос.)
 18. Pranolo A, Parallel Mathematical Models of Dynamic Objects, Int. J. Adv. Intell. Informs. 4(2) (2018) 120–131.

19. I. Shramko, "Anti-swing Control System for the One Class of Underactuated Dynamic Objects," 2020 IEEE Problems of Automated Electrodrive. Theory and Practice (PAEP), Kremenchuk, Ukraine, 2020, pp. 1-4.
20. Kluev, O., "Chaotic Time-variant Dynamical System," 2020 IEEE 15th International Conference on Advanced Trends in Radioelectronics, Telecommunications and Computer Engineering (TCSET), 2020, pp. 606-609.
21. R. Voliansky, "Chua's circuits interval synchronization," 2017 4th International Scientific-Practical Conference Problems of Infocommunications. Science and Technology (PIC S&T), Kharkov, Ukraine, 2017, pp. 439-443.
22. O. Sinkevych, "Sliding Mode Control for DC Generator with Uncertain Load," 2020 IEEE 15th International Conference on Advanced Trends in Radioelectronics, Telecommunications and Computer Engineering (TCSET), Lviv-Slavsk, Ukraine, 2020, pp. 313-316.
23. Voliansky, R. (2017). Transformation of the generalized chaotic system into canonical form. International Journal of Advances in Intelligent Informatics, 3(3), 117–124.
24. Sadovoi A. V., "The transformation of linear dynamical object's equation to Brunovsky canonical form," 2017 IEEE 4th International Conference Actual Problems of Unmanned Aerial Vehicles Developments (APUAVD), Kiev, Ukraine, 2017, pp. 196-199.
25. Садовой А. В. Дослідження частотних характеристик динамічних ланок із похідними дробових порядків / Р. С. Волянський, // Збірка наукових праць ДДТУ (технічні науки). Тематичний випуск „Проблеми автоматизованого електроприводу. Теорія і практика”. – 2007. – С. 82–85. (на рос.)
26. O. Sinkevych, "Construction of Parallel Piecewise-Linear Interval Models for Nonlinear Dynamical Objects," 2019 9th International Conference on Advanced Computer Information Technologies (ACIT), 2019, pp. 97-100.
27. Y. Sokhina, "Sliding Mode Interval Controller for the Mobile Robot," 2019 XIth International Scientific and Practical Conference on Electronics and Information Technologies (ELIT), Lviv, Ukraine, 2019, pp. 76-81.
28. N. Volianska, "Interval model of the piezoelectric drive," 2018 14th International Conference on Advanced Trends in Radioelectronics, Telecommunications and Computer Engineering (TCSET), Lviv-Slavsk, Ukraine, 2018, pp. 1-6.
29. O. Sinkevych, "Root Methods for Dynamic Analysis of the One Class Chaotic Systems," 2019 IEEE 14th International Conference on Computer Sciences and Information Technologies (CSIT), 2019, pp. 117-121.
30. O. Sadovoi, "Defining of Lyapunov Functions for the Generalized Nonlinear Object," 2018 IEEE 5th International Conference on Methods and Systems of Navigation and Motion Control (MSNMC), Kiev, Ukraine, 2018, pp. 222-228.
31. Садовой О. В. Лінеаризація зворотними зв'язками рівнянь динаміки узагальненого електромеханічного об'єкта з диференціальним рівнянням спостережуваності // Вісник Нац. техн. ун-ту "ХПІ": зб. науч. пр. Темат. вип. : Механіко-технологічні системи та комплекси. – Харків: НТУ "ХПІ". – 2014. – № 60 (1102). – С. 52-57. (на рос.)
32. N. Krasnoshapka, O. Statsenko, "Electromechanical System Motion Control in Direct and Inverse Time," 2022 IEEE 3rd KhPI Week on Advanced Technology (KhPIWeek), Kharkiv, Ukraine, 2022, pp. 1-6.